



13-16 -GM-AC -501 .- Panorámica del Teso Parva con los arítmos
detriticos arenosos ($T_{C.2-2}^{Ab-Ac}$)



13-16 -GM-AC -502 -- Superficie erosiva en la base de uno
de los ritmos detriticos arenosos
 $(T_{C.2-2}^{Ab-Ac})$



13-16 -GM-AC -503 .- Granodecrecimiento en T_{C.2-2}^{Ab-Ac}



3-16 -GM-AC -504 .- Superficie erosiva y "cantes blandos" en los ritmos detriticos arenosos ($T_{C.2-2}^{Ab-Ac}$)



13-16 -GM-AC -505 .- Acuñamiento y Paleocauees en los ritmos
detriticos arenosos ($\text{E}_{\text{C.2-2}}^{\text{Ab-Ac}}$)



13-16 -GM-AC -506 .- Panorámica del Teso del Viso. Margas y limonitas en la base ($T_{C.2}^{Ab}$) y ritmos detriticos arenosos a techo. ($T_{C.2-2}^{Ab-Ac}$)



13-16 -GM-AC -507 .- Vista general de la serie de Sanzoles.
Ritmos detriticos arenosos. ($T_{C.2-2}^{Ab-Ac}$)

13-16 -GM-AC-508 .- Detalle de Las margas y lítomolitas ($\frac{\text{L}}{\text{C} \cdot \text{g}^2}$) en Sanzoles.





13-16 -GM-AC -509 .- Detalle de las margas y limolitas ($T_{C.2}^{Ab}$) en el Cristo de Morales.



13-16 -GM-AC-510 .- Estratificación cruzada en las margas
y limolitas ($T_{C.2}^{Ab}$)



13-16 -GM-AC -511 .- Paleocauge en las margas y limolitas
 $(T_{C.2}^{Ab})$



13-16 -GM-AC -512 .- Estratificación cruzada y laminaciones deformadas, remarcadas por lechos rojos, en las margas y limolitas ($T_{C.2}^{Ab}$)

13-16 -GM-AC -513 .- Estratificación cruzada en las margas
y limonitas ($T_{C,2}^{Ab}$)

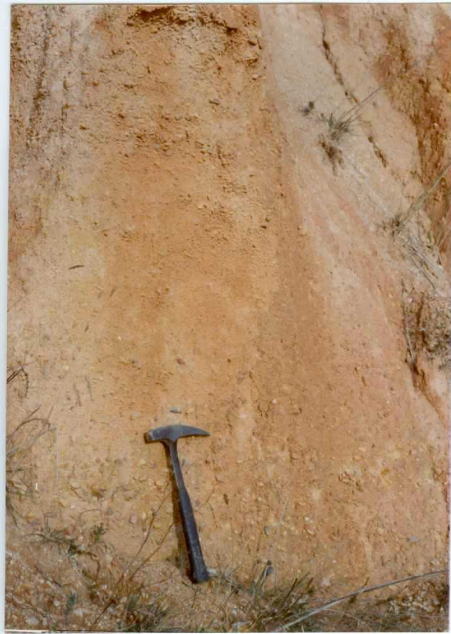




13-16 -GM-AC -514 .- Estratificación cruzada en las margas
y limonitas ($T_{C.2}^{Ab}$)



13-16 -GM-AC -515 .- Estructuras de deformación en las
margas y limolitas ($T_{C.2}^{Ab}$)



13-16 -GM-AC -516 .- Detalle de la facies detritica del
Preluteciense ($T_{C.1-2}^{A-Aa}$)



13-16 -GM-AC -517 .- Detalle de las areniscas y conglomerados
con cemento siliceo ($Ts_{C.1-2}^{A-Aa}$)



13-16 -GM-AC -518 .- Panorámica en "Las Contiendas". Ritmos detriticos arenosos (Tc_{2-2}^{Ab-Ac}) con conglomerado neógenos a techo
 $(T_{C.l}^B)$

-3-16 -GM-AC -519 .-

Detalle de los conglomerados neógenos

(T_G^B)



13-16 -GM-AC -520 -- Detalle de la terraza QT_B



13-16 -GM-AC -521 .- Panorámica sobre La terraza QT³





13-16 -GM-AC -522 :- Panorámica de la terraza QT₃ y de la llanura aluvial QAL.

13-16 -GM-AC -523 .- Terraza baja (Q₄) y llanura aluvial (Q₄AL).
Al fondo escarpes preluteicos (Q₄A-Aa)
C.1-2





13-16 -GM-AC -524 .- Discordancia entre el Paleozoico y el Terciario. Costra ferralitica (T_{C.1-2}) A-Aa



13-16 -GM-AC -525 .- Detalle de la Costra ferralitica ($T_{C.1-2}^{A-Aa}$)



13-16 -GM-AC -526 .- Lehn granitico en la base del Terciario
 $(T_{C.1-2}^{A-Aa})$

13-16 -GM-AC -527 .- Areniscas del nivel inferior del Terciario
 (T_G^A-Aa)
 (T_G^C-1-2)





13-16 -GM-AC -528 .- Areniscas del nivel inferior del
Terciario ($T_{C.1-2}^{A-Aa}$)

13-16 -GM-AC -529 • - Esquistos y pizarras de Preçámbriico-
Cámbrico

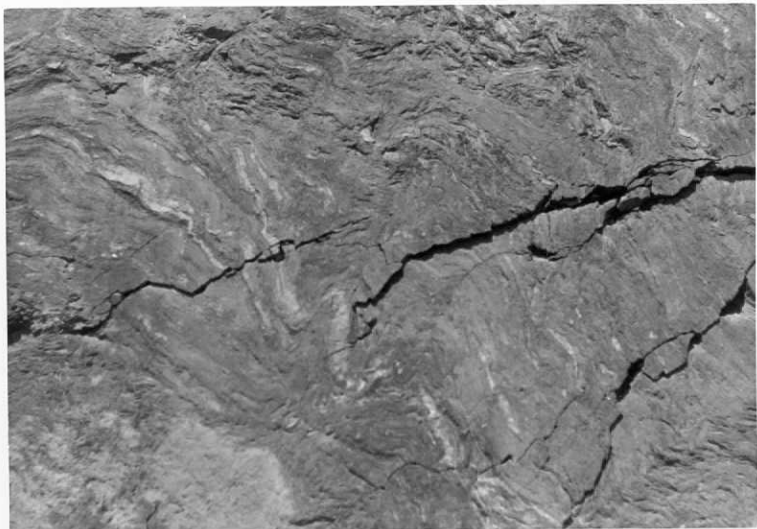




13-16 -GM-AC -530 .- Pliegue de Fase I plegado en Fase II
Precámbrico-Cámbrico.



13-16 -GM-AC -531 .- Gneises crenulados (PC-CA)



13-16 -GM-AC -532 -- Pliegues de fase I en esquistos de
Precámbrico-Cámbrico.